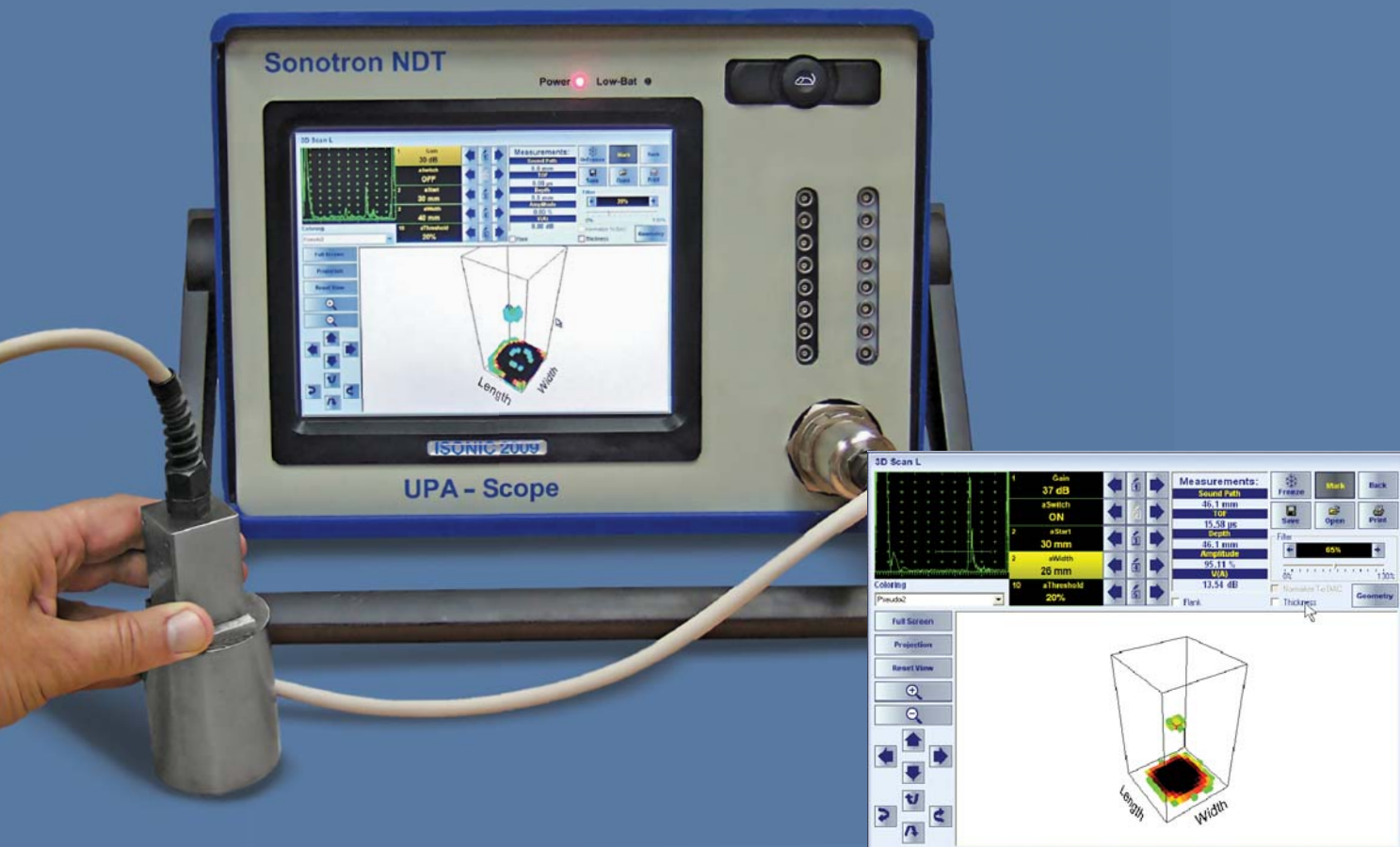


ISONIC 2009 UPA-Scope

Портативный Ультразвуковой ФР Дефектоскоп-Рекордер



ПРОСТОТА ✓ УНИВЕРСАЛЬНОСТЬ ✓ НАДЕЖНОСТЬ

НЕПРЕВЗОЙДЕННЫЕ ТЕХНИЧЕСКИЕ ХАРАКТЕРИСТИКИ:

- 64:64 – 64 активных ФР канала
- 1, 8 или 16 каналов – обычные / TOFD преобразователи
- 8192 закона фокусировки с независимой установкой усиления и других базовых параметров
- Биполярный прямоугольный зондирующий импульс с регулируемыми амплитудой и длительностью, бустированными фронтами и системой активного демпфирования – до 300 Vpp на 50 Ω для ФР и 400 Vpp на 50 Ω для обычных и TOFD преобразователей
- Аналоговое усиление 100 дБ

- 32-х тактный цифровой фильтр
- Регистрация результатов контроля с сохранением всех А-сканов
- Метрологически обеспеченная равномерность чувствительности в контролируемом сечении
- Технология TTGI (True To Geometry Imaging) – двух- и трехмерная визуализация, сверхбыстрая настройка, встроенный трассировщик лучей
- Уникальный набор программ для контроля объектов с простой и сложной геометрией с применением ФР
- Подробнее здесь:
<http://www.sonotronndt.com/i2009.htm>



Sonotron NDT

4, Pekeris str., Rabin Science Park, Rehovot, 76702, Israel
Phone: +972-(0)8-9311000 Fax:+972-(0)8-9477712
www.sonotronndt.com

ООО «МНПО «СПЕКТР»

Официальный представитель в России и странах СНГ:
119048, г. Москва, ул. Усачева, д. 35, стр. 1
Тел: +7 495 626 5359, 626 5348



<http://www.mnpo-spektr.ru>

Ultrasonic Phased Array Inspection**5. Automatic Inspection of Welds****G. Passi**

New MULTIGROUP AUT technology of automatic ultrasonic inspection combining phased array, TOFD, and conventional modalities and suitable for the majority of welds is presented and described



УЗК с использованием преобразователей на фазированных решетках – способы сканирования, требования к аппаратуре и примеры практического применения*

5. Автоматический / автоматизированный контроль сварных швов

[1] подробно рассмотрен автоматизированный высокоскоростной УЗК стыковых швов при строительстве магистральных трубопроводов с применением ФР, TOFD и обычных преобразователей. Сварныестыки магистральных трубопроводов представляют собой особый класс объектов, изготавливаемых с высокой точностью – от подбора стыкуемых труб с минимальными допусками на разницу в диаметрах и толщине стенок и овальность поперечного сечения до CNC-разделки кромок. Контроль таких соединений выполняется в соответствии со статистикой дефектности, характерной для применяемой технологии сварки (CRC), согласно основополагающему стандарту ASTM E-1961, а также нормам API 1104 и DNV 2000 OS-F101, впервые изданным еще до появления

ФР, согласно которым объем шва разделяется на горизонтальные слои (зоны), и сигналы, излучаемые и принимаемые моноэлементными фокусирующими преобразователями, регистрируются и отображаются для каждой из зон в отдельности. Внедрение ФР позволило заменить десятки моноэлементных преобразователей, позонно реализующих тандем и эхо-метод, всего лишь двумя ФР-преобразователями, располагаемыми с обеих сторонстыка. Это значительно упрощает конструкцию, снижает массу и повышает надежность механической части (сканера), сокращает время подготовки к контролю, ускоряет процесс установки/снятия состыка и т.д., что в совокупности значительно увеличивает производительность контроля. Однако схема контроля и способ регистрации и отображения информации, используемые для CRC-сваренных труб, не изме-

нились при переходе на применение ФР, которые по-прежнему последовательно реализуют заданный набор позонных прозвучиваний в поперечном сечении при движении вдоль линии сплавления. Следует также отметить, что технология контроля, основанная на мультизонном прозвучивании, не может быть распространена на большинство сварных соединений, выполненных с гораздо менее строгими по сравнению с CRC допусками, так как распространение резко сфокусированных ультразвуковых лучей, многократно отраженных от стенок объекта, становится непредсказуемым при выходящих за пределы допусков отклонений его геометрии от расчетной.

В настоящей статье рассмотрена новая технология MULTIGROUP AUT для автоматического (автоматизированного, механизированного) контроля (АУЗК) стыковых швов, применимая для большинства свар-

**Пасси Гарри**

Генеральный директор и научный руководитель фирмы Sonotron NDT (Израиль).
Доктор наук, профессор, III уровень НК в пяти дисциплинах (UT, ET, MPI, MIA, RT).

Табл. Аппаратная платформа для реализации технологии АУЗК MULTIGROUP AUT

Преобразователи	ISONIC PA AUT [1]	ISONIC 2009 UPA Scope	ISONIC 2010
ФР	2 × 64 эл 2 × 48 эл 2 × 32 эл 2 × 16 эл	2 × 32 эл 2 × 16 эл	2 × 16 эл
Обычные и TOFD	До 16 пар	1 пара, до 8 пар, до 16 пар (в зависимости от конфигурации)	1 пара

*Пятая статья серии. Четыре первые опубликованы в [2–5].

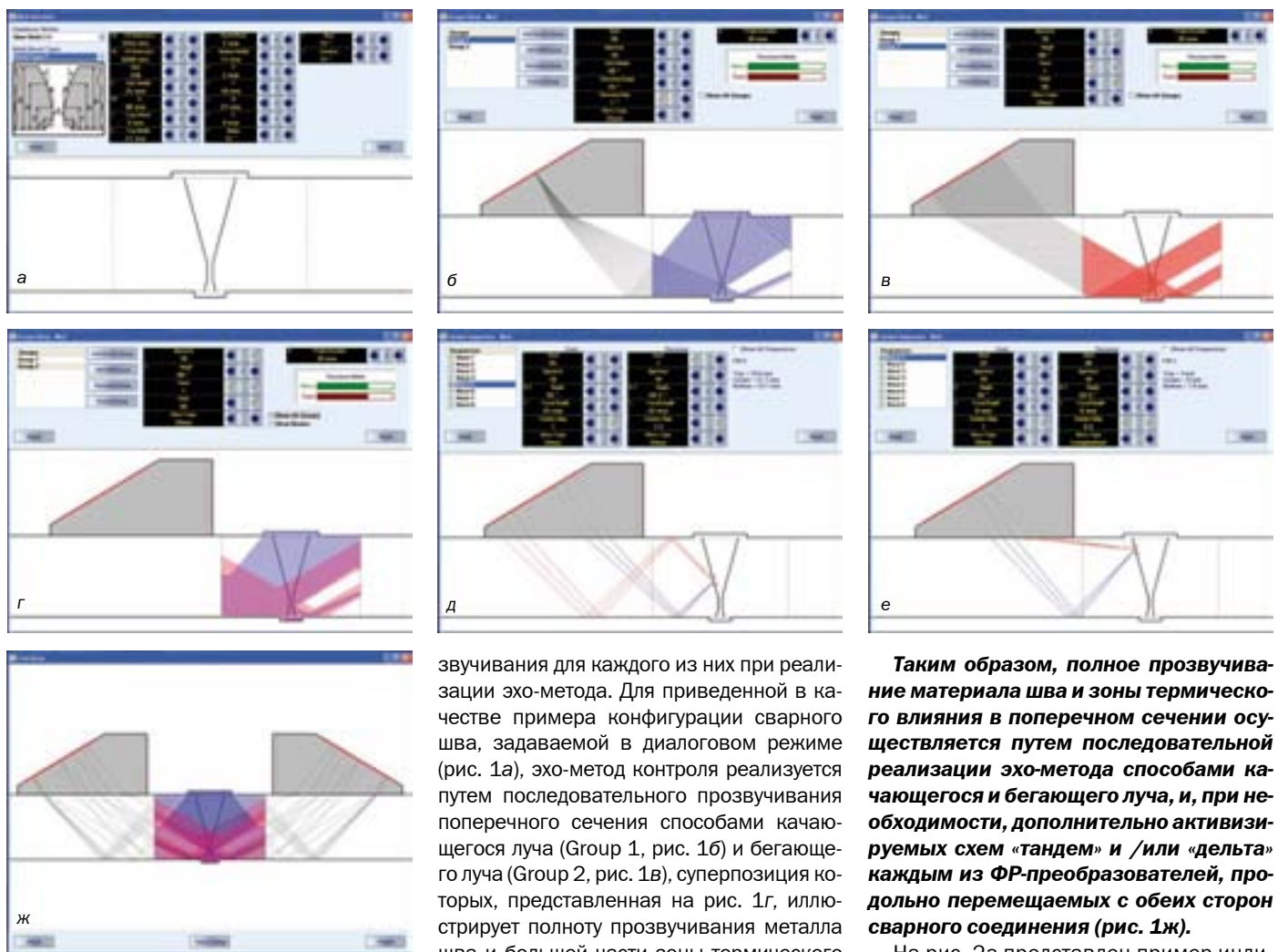


Рис. 1. Трассировка лучей для ФР-преобразователей

ных соединений, выполненных с различной степенью точности. Список приборов фирмы Sonotron NDT, пригодных для реализации этой технологии, приведен в табл.

Основные и дополнительные схемы прозвучивания

В основном прозвучивание металла шва и зоны термического влияния осуществляется двумя ФР-преобразователями, расположенными с обеих сторонстыка. В зависимости от используемой аппаратной платформы могут применяться различные ФР, несущие от 16 до 64 элементов. Схема прозвучивания создается оператором в режиме **трассировки** лучей, когда изначально задаются внешние размеры шва (толщина, ширина и превышение валика усиления над поверхностью сканирования и аналогичные размеры на противоположной поверхности), а также границы зоны термического влияния и геометрия разделки кромок, после чего для выбранного ФР-преобразователя и заданного расстояния от него до линии сплавления определяются способы манипулирования ультразвуковым лучом и диапазон про-

звучивания для каждого из них при реализации эхо-метода. Для приведенной в качестве примера конфигурации сварного шва, задаваемой в диалоговом режиме (рис. 1а), эхо-метод контроля реализуется путем последовательного прозвучивания поперечного сечения способами качающегося луча (Group 1, рис. 1б) и бегающего луча (Group 2, рис. 1в), суперпозиция которых, представленная на рис. 1г, иллюстрирует полноту прозвучивания металла шва и большей части зоны термического влияния с одной из сторон. Для повышения вероятности обнаружения несплавлений по кромке шва (продольный плоскостной дефект) можно дополнительно реализовать прозвучивание по схеме «тандем» с использованием этого же ФР-преобразователя, для чего задаваемые оператором лучи излучающей и приемной апертуры направляются на выбранный участок поверхности разделки, и обнаружение дефекта, озвучиваемого поперечной волной, осуществляется за счет приема зеркально отраженного сигнала волны того же типа (рис. 1д). В случае, когда сочетание трех параметров, а именно: размеров призмы ФР преобразователя (относительно небольших по сравнению с расстоянием между двумя обычными преобразователями,ключенными по схеме «тандем»), расстояния до линии сплавления и толщины объекта не позволяет принять зеркально отраженный сигнал, возможна реализация «дельта-метода», когда плоскостной дефект в заданной области озвучивается поперечной волной, а приемная апертура настраивается на обнаружение сигнала дифрагированной продольной волны (рис. 1е), равномерно распространяющейся во всех направлениях.

Таким образом, полное прозвучивание материала шва и зоны термического влияния в поперечном сечении осуществляется путем последовательной реализации эхо-метода способами качающегося и бегающего луча, и, при необходимости, дополнительно активизируемых схем «тандем» и /или «дельта» каждым из ФР-преобразователей, продольно перемещаемых с обеих сторон сварного соединения (рис. 1ж).

На рис. 2а представлен пример индикации на этапе настройки, осуществляемой поэтапно для каждой из заданных схем прозвучивания. Как и для ручного контроля с применением портативных дефектоскопов ISONIC 2009 UPA Scope, ISONIC 2010 фирмы Sonotron NDT, равномерность чувствительности в поперечном сечении метрологически обеспечивается в соответствии с [3], а изображение формируется согласно технологии TTGI (True-To-Geometry-Imaging), подробно рассмотренной в [4]. С учетом того, что целью АУЗК является выполнение контроля в полном объеме за один проход сканирующей системы:

- контроль и регистрация акустического контакта каждого из ФР-преобразователей с объектом обязательны, и для их реализации отдельно организуются циклы (фокальные законы) излучения продольной волны по нормали к поверхности сканирования, приема и оценки донного эхосигнала в соответствии с [4] (рис. 2б) и/или излучение-прием поперечной волны, распространяющейся от одного ФР-преобразователя к другому и претерпевающей отражение от донной поверхности;

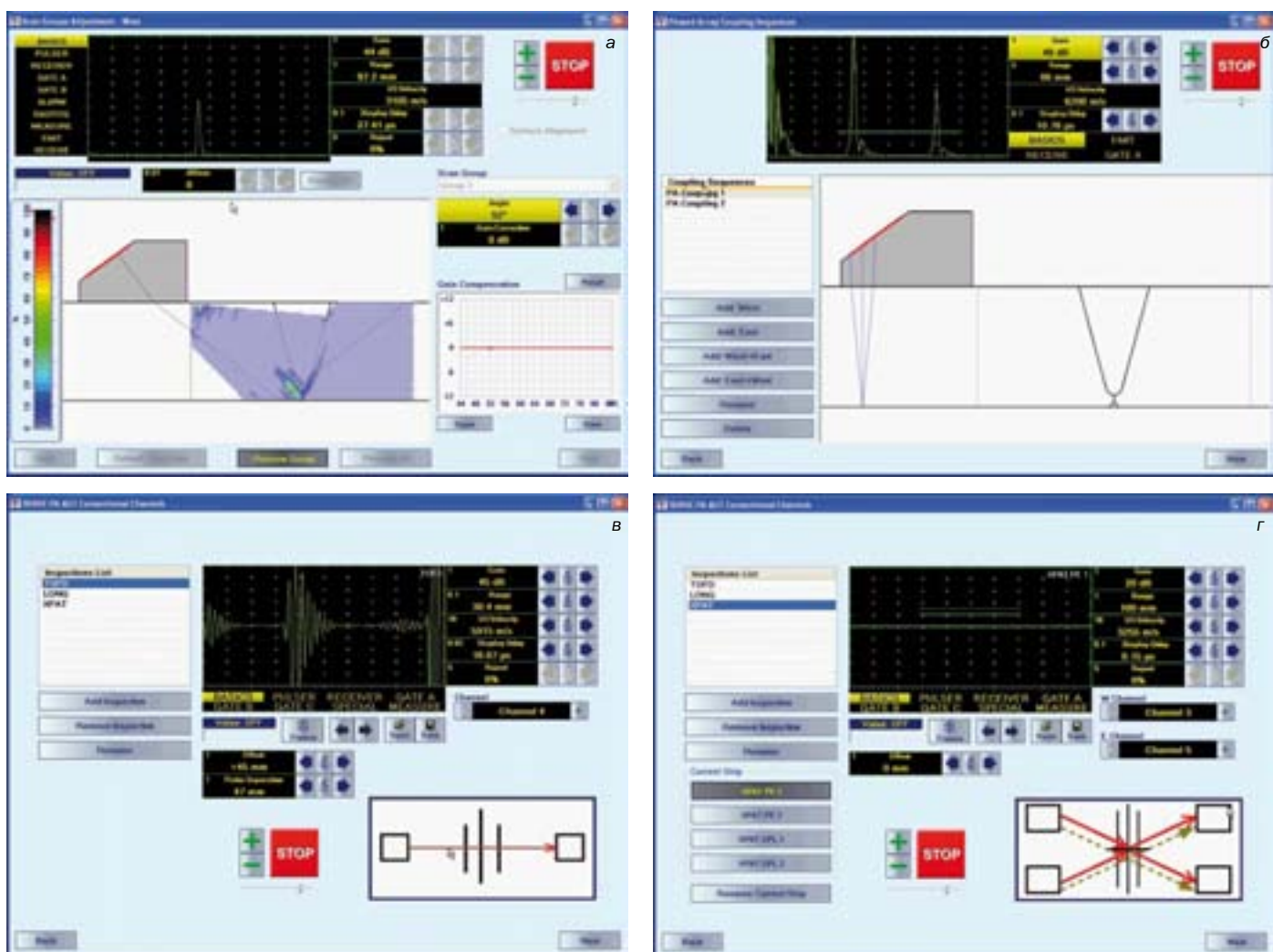


Рис. 2. Иллюстрация некоторых характерных экранов при настройке системы АУЗК

• прозвучивание с применением ФР-преобразователей сочетают с комплементарной технологией TOFD, характеризуемой высокой вероятностью обнаружения и простотой интерпретации дефектов в средней части сварного соединения. Основное назначение TOFD в системе АУЗК – исключение пропуска продольных трещин в материале шва, которые легко распознаются на TOFD-карте, но могут быть ошибочно не разбракованы при обнаружении ФР-преобразователями ввиду небольшой амплитуды эхо-сигнала. Для реализации технологии TOFD обычно используются дискретные наклонные преобразователи, работающие на продольных волнах (рис. 2в). Количество одновременно работающих пар TOFD-преобразователей, угол ввода и частота для каждой из пар определяются толщиной объекта в соответствии с [6]. С целью обеспечения наибольшей компактности сканирующей системы можно также применять излучение и прием продольных волн в направлении от одного ФР-преобразователя к другому, формируя апертуру излучения-приема соответствующим образом, исключив тем самым применение дискретных TOFD-преобразователей

И, наконец, следует отметить, что при необходимости обнаружения поперечных трещин в сканирующую систему по схеме «Х» (X PATTERN) (рис. 2г) или «К» (K PATTERN) дополнительно включаются обычные наклонные преобразователи поперечной волны, а для обнаружения расслоений в околоводной зоне – обычные прямые преобразователи, которые, в некоторых случаях, когда ФР-преобразователь располагается непосредственно над зоной термического влияния, а контактная поверхность призмы перекрывает эту зону, могут быть заменены путем организации соответствующих циклов излучения-приема в последовательности реализуемых фокальных законов.

Сканирование и представление результатов контроля

Сканирование осуществляют путем перемещения каретки, несущей ФР, TOFD, и обычные преобразователи, вдоль линии сплавления. Возможно применение автоматических сканеров, перемещаемых вдоль специального трека, уста-

навливаемого параллельно оси шва [1], либо сканеров с магнитными колесами, перемещаемых как вручную, так и автоматически. Пример простейшей сканирующей каретки на магнитных колесах, несущей ФР- и TOFD-преобразователи, приведен на рис. 3. Максимально возможная скорость сканирования определяется согласно [5].

На рис. 4 приведен и разъяснен пример воспроизведения результатов контроля во время сканирования. Важно, что для любой из схем прозвучивания с применением ФР в любой момент можно выбрать для наблюдения текущее изображение поперечного сечения сварного шва и любой из А-сканов. Также возможно наблюдение текущего А-скана для всех дополнительных схем прозвучивания.

Интерпретация результатов контроля

Результаты контроля запоминаются в виде файла, содержащего все А-сканы в необработанном виде для каждой из схем прозвучивания с привязкой к линейной координате преобразовате-



Рис. 3. Пример простейшей сканирующей каретки на магнитных колесах



Рис. 5. Механизированный контроль сварного шва толщиной 100мм по технологии MULTIGROUP AUT

ля. Важность сохранения 100% необработанных А-сканов подтверждается примером контроля сварного шва толщиной 100мм на одном из судостроительных заводов в КНР. Сканирование осуществлялось рядовым оператором АУЗК второго уровня квалификации с применением прибора ISONIC PA AUT и модульного сканера на магнитных колесах со съемным электроприводом* (рис. 5).

На одном из участков стыка были обнаружены и отремонтированы три дефекта. Непосредственно перед ремонтом изготовитель попросил просканировать дефектный участок повторно. Фотография на рис. 5 была сделана на этапе повторного сканирования, результаты которого представлены и пояснены на рис. 6. Принятие решения относительно дефектов 1 и 2, амплитуда эхо-сигналов от которых примерно в два раза превышает допустимый уровень ($DAC + 8$ дБ). Относительно сигналов от трещины – каждый из них более, чем в два раза ниже допустимого уровня по амплитуде, однако, анализ динамики изменения эхо-сигналов в поперечном сечении, позволивший выявить взаимосвязь между ними, плюс характерное для трещины изображение поперечного сечения шва (рис. 6в, г) позволили оператору интерпретировать зафиксированную инди-

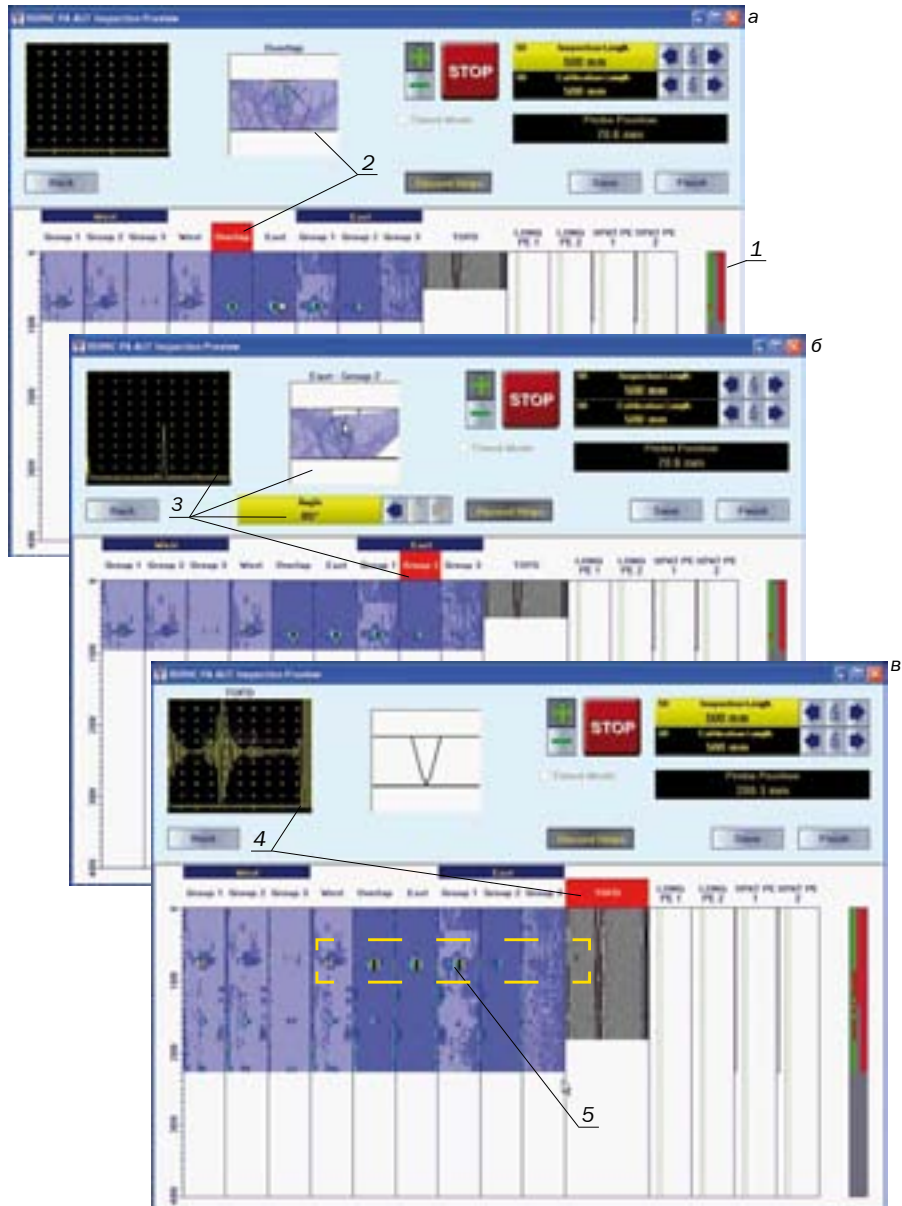


Рис. 4. Представление информации при АУЗК сварного шва во время сканирования с применением ФР, TOFD и обычных преобразователей:

- **West Group 1, 2, 3** – изображения сварного шва в плане (вид сверху), получаемые при реализации схем прозвучивания в результате выполнения последовательностей фокальных законов (групп) с 1-й по 3-ю ФР-преобразователем, расположенным с одной из сторон шва (West);
- West – суперпозиционное изображение сварного шва в плане, получаемое при реализации схем прозвучивания в результате выполнения последовательностей фокальных законов (групп) с 1-й по 3-ю ФР-преобразователем, расположенным с одной из сторон шва (West);
- **East Group 1, 2, 3** – изображения сварного шва в плане (вид сверху), получаемые при реализации схем прозвучивания в результате выполнения последовательностей фокальных законов (групп) с 1-й по 3-ю ФР-преобразователем, расположенным со второй стороны шва (East);
- West – суперпозиционное изображение сварного шва в плане, получаемое при реализации схем прозвучивания в результате выполнения последовательностей фокальных законов (групп) с 1-й по 3-ю ФР-преобразователем, расположенным со второй стороны шва (East);
- Overlap – суперпозиционное изображение сварного шва в плане, получаемое при реализации схем прозвучивания в результате выполнения последовательностей фокальных законов (групп) с 1-й по 3-ю обоими ФР преобразователями;
- TOFD – карта, регистрируемая для одной пары TOFD-преобразователей;
- LONG PE 1, LONG PE 2 – виртуальная лента аналогового самописца (strip) амплитуды эхо-сигналов продольной волны от возможных расслоений;
- XPAT PE 1, XPAT PE 2 – виртуальная лента аналогового самописца (strip) амплитуды эхо-сигналов поперечной волны от возможных поперечных трещин;
- 1 – дорожки записи состояния акустического контакта (ДА /НЕТ);
- 2 – выбор вида **Overlap** для отображения суперпозиционного поперечного сечения шва (а), соответствующего текущему текущей продольной координате ФР-преобразователей
- 3 – выбор вида **East Group 2** для отображения поперечного сечения шва (б), соответствующего текущей продольной координате ФР-преобразователя, расположенного со стороны East, с наблюдением эхо-сигнала под одним из углов в реализуемом диапазоне прозвучивания;
- 4 – выбор карты **TOFD** для наблюдения А-скана (в), соответствующего текущей продольной координате пары TOFD-преобразователей;
- 5 – индикация одного и того же дефекта на карте TOFD и изображениях сварного шва в плане

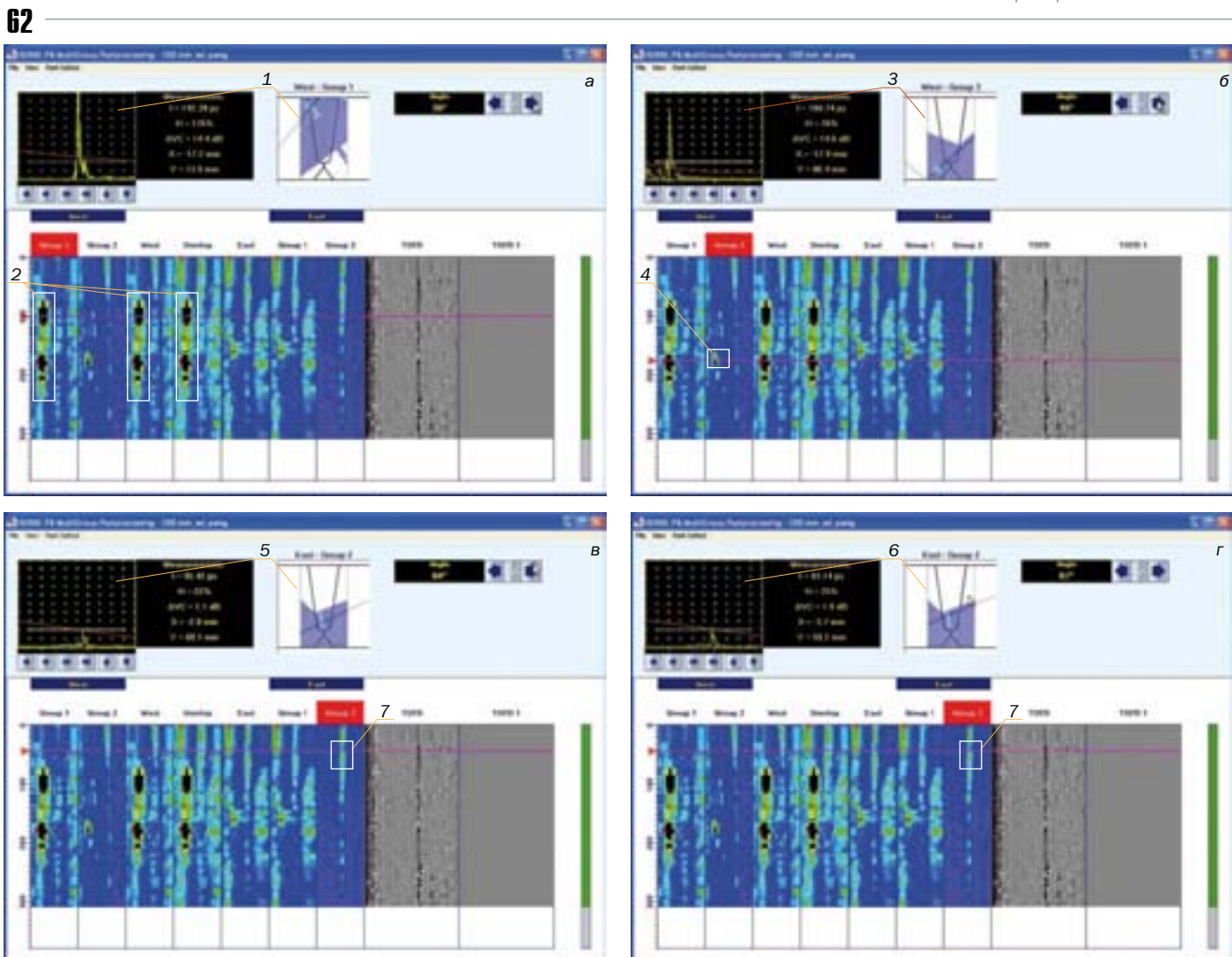


Рис. 6. Индикация дефектов на участке сварного шва толщиной 100 мм: 1 – дефект в металле шва вблизи кромки на глубине 17,2 мм, обнаруженный способом качающегося луча ФР-преобразователем West, максимальная амплитуда эхо-сигнала зарегистрирована для угла ввода 38° – однократно отраженный луч; 2 – отображение дефекта 1 протяженностью около 140 мм в плане шва на соответствующих видах West, Group 1, West и Overlap; 3 – дефект в зоне термического влияния на глубине 86,4 мм, обнаруженный способом качающегося луча ФР-преобразователем West, максимальная амплитуда эхо-сигнала зарегистрирована для угла ввода 49° – однократно отраженный луч; 4 – отображение дефекта 2 протяженностью менее 140 мм в плане шва на соответствующем виде West, Group 2; 5 – обнаружение нижней кромки трещины на глубине 68,1 мм способом качающегося луча ФР-преобразователем East, природа сигнала – дифрагированная поперечная волна малой интенсивности, угол обнаружения максимума 64°, прямой луч; 6 – обнаружение верхней кромки трещины на глубине 59,2 мм способом качающегося луча ФР-преобразователем East, природа сигнала – дифрагированная поперечная волна малой интенсивности, угол обнаружения максимума 67°, прямой луч; 7 – отображение трещины высотой около 9 мм на соответствующем виде в плане шва East, Group 2



Рис. 7. Подтверждение обнаружения трещины после вскрытия шва перед ремонтом

кацию как трещину, что и подтвердилось позднее после вскрытия шва перед ремонтом (рис. 7).

*Видеофайл, иллюстрирующий разнообразные конфигурации, создаваемые при использовании такого сканера, доступен для просмотра по ссылке http://www.sonotronndt.com/ReplInfo/M_CH_SCANNER/SBSC_%20288699_288694_Scanners.wmv

Литература

- Пасси Г. Автоматический ультразвуковой контроль сварных стыков при строительстве магистральных трубопроводов высокого давления. – В мире НК. 2009. № 1 (43). С. 6-12.
- Пасси Г. Ультразвуковой контроль с использованием преобразователей на фазированных решетках – способы сканирования, требования к аппаратуре и примеры практического применения. 1. Излучение и прием ультразвуковых сигналов с применением фазированных решеток. – В мире НК. 2010. № 3 (49). С. 12-16.
- Пасси Г. Ультразвуковой контроль с использованием преобразователей на фазированных решетках – способы сканирования, требования к аппаратуре и примеры практического применения. 2. Прозвучивание поперечных сечений объектов с применением линейных решеток – обеспечение равномерности чувствительности и единства оценки отражателей. – В мире НК. 2010. № 4 (50). С. 48-52.
- Пасси Г. Ультразвуковой контроль с использованием преобразователей на фазированных решетках – способы сканирования, требования к аппаратуре и примеры практического применения. 3. Визуализация поперечных сечений – полнота прозвучивания и технология TTGI. – В мире НК. 2011. № 1 (51). С. 53-59.
- Пасси Г. Ультразвуковой контроль с использованием преобразователей на фазированных решетках – способы сканирования, требования к аппаратуре и примеры практического применения. 4. Механическое сканирование ФР-преобразователями. – В мире НК. 2011. № 2 (52). С. 51-54.
- WI 00121377, Welding – Use Of Time-Of-Flight Diffraction Technique (TOFD) For Testing Of Welds. – European Committee for Standardization. – Doc. No. CEN/TC 121/SC 5/WG 2 N 146, issued Feb, 12, 2003.

Статья получена 10 августа 2011 г.

ISONIC 2010

Портативный Ультразвуковой
ФР Дефектоскоп-Рекордер



ПРОСТОТА ✓ УНИВЕРСАЛЬНОСТЬ ✓ НАДЕЖНОСТЬ

НЕПРЕВЗОЙДЕННЫЕ ТЕХНИЧЕСКИЕ ХАРАКТЕРИСТИКИ:

- 32:32 – 32 активных ФР канала
- 1 канал – обычные / TOFD преобразователи
- 8192 закона фокусировки с независимой установкой усиления и других базовых параметров
- Биполярный прямоугольный зондирующий импульс с регулируемыми амплитудой и длительностью, бустированными фронтами и системой активного демпфирования – до 300 Vpp на 50 Ω для ФР и до 400 Vpp на 50 Ω для обычных и TOFD преобразователей
- Аналоговое усиление 100 дБ
- 32-х тактный цифровой фильтр
- Регистрация результатов контроля с сохранением всех А-сканов
- Метрологически обеспеченная равномерность чувствительности в контролируемом сечении
- Технология TTGI (True To Geometry Imaging) – двух- и трехмерная визуализация, сверхбыстрая настройка, встроенный трассировщик лучей
- Уникальный набор программ для контроля объектов с простой и сложной геометрией с применением ФР
- Подробнее здесь:

<http://www.sonotronndt.com/i2010.htm>



Sonotron NDT

4, Pekeris str., Rabin Science Park, Rehovot, 76702, Israel
Phone: +972-(0)8-9311000 Fax:+972-(0)8-9477712
www.sonotronndt.com

ООО «МНПО «СПЕКТР»

Официальный представитель в России и странах СНГ:
119048, г. Москва, ул. Усачева, д. 35, стр. 1
Тел: +7 495 626 5359, 626 5348



Спектр

<http://www.mnpo-spektr.ru>